

УДК 621.165

**В.С. ГАПОНОВ**, д-р техн. наук; проф. НТУ «ХПИ», г. Харьков  
**Ю.А. ОСТАПЧУК**, канд. техн. наук; доц. НТУ «ХПИ», г. Харьков

**УПРУГАЯ СИСТЕМА КВАЗИНУЛЕВОЙ ЖЕСТКОСТИ  
 ОПОР ПОДШИПНИКОВ**

Розглядається пружна система квазінульової жорсткості опор швидкісних роторів. Приведені розрахунки елементів системи на міцність.

Resilient quasi-zero stiffness system of the speed rotors supports is considered. The calculations of the elements on durability are resulted.

Упругая система [1] состоит из силовой (несущей) части, корректора и регулятора жесткости. Корректор жесткости представляет собой упругую систему, находящуюся на границе устойчивости. Суммарная жесткость несущей части подвески и корректора может быть сколь угодно малой. Регулятор жесткости управляет положением корректора в зависимости от величины постоянной и низкочастотной составляющих внешней нагрузки для обеспечения квазинулевой жесткости упругой системы. Опора относится к классу пассивных виброзащитных систем. Регулирование жесткости позволяет следить за изменениями спектра частот возбуждения.

Упругая система квазинулевой жесткости (рис. 1) содержит корректор жесткости, выполненный в виде пластин (стержней), шарнирно закрепленных по концам.

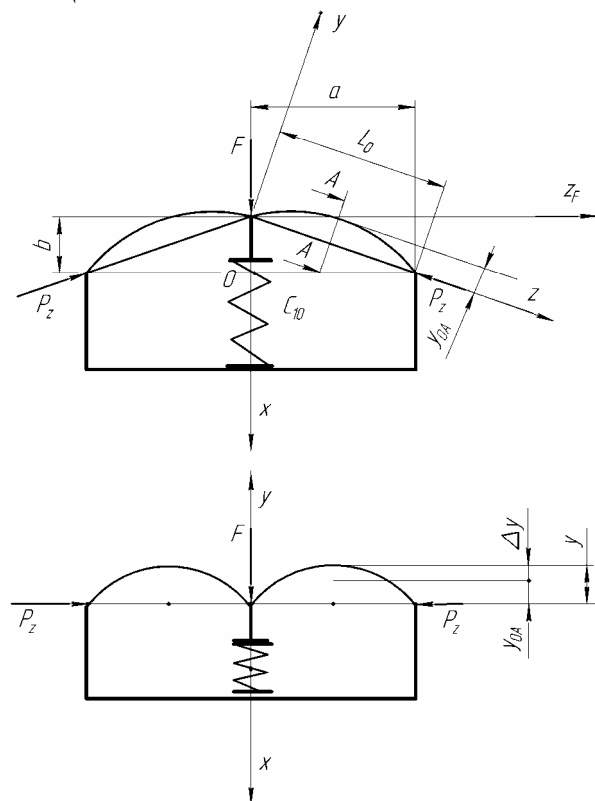


Рис. 1. Схема системы квазинулевой жёсткости

Силовая характеристика упругой системы квазинулевой жесткости может быть найдена как сумма проекций на ось X сил, действующих со стороны несущего упругого элемента жесткости  $C_{10}$  и корректора жесткости.

Корректор (рис. 2) представим в виде стержня с начальным прогибом  $y_{0A}$  и находящимся под действием продольной силы  $P_Z$ .

Так как сжимающая сила приложена с эксцентриситетом, то с самого начала нагружения возникает изгибающий момент  $M_0 = -P_Z y_0$  (рис. 2) и уравнение изгиба для деформированного состояния имеет вид

$$EI \frac{d^2(y - y_0)}{dZ^2} = P_Z y, \quad (1)$$

где  $I = b_c d^3 / 12$  – момент инерции сечения стержня (рис. 1).

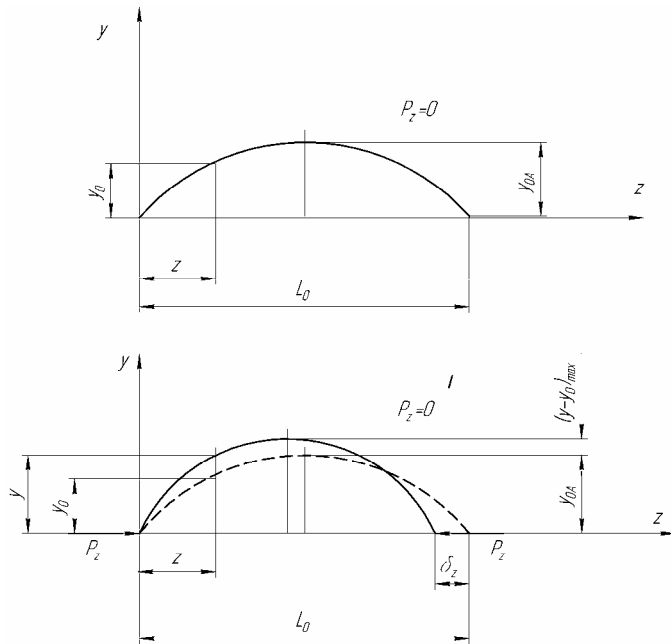


Рис. 2. Расчетная схема корректора жесткости

Положив

$$y_0 = y_{0,A} \cdot \sin \frac{\pi Z}{L_0} \quad (2)$$

получим из (1)

$$\frac{d^2 y}{dZ^2} + k^2 y = -y_{0,A} \left( \frac{\pi}{L_0} \right)^2 \cdot \sin \frac{\pi Z}{L_0}, \quad (3)$$

где  $k^2 = P_z / EI$ .

Найдем общее решение уравнения (3). Его можно представить как сумму двух решений

$$y = y^* + y^{**},$$

где  $y^*$  – общее решение однородного уравнения

$$\frac{d^2 y}{dZ^2} + k^2 y = 0;$$

$y^{**}$  – частное решение уравнения (3)

$$\left. \begin{aligned} y^* &= C_1 \cos kZ + C_2 \sin kZ; \\ y^{**} &= A \cos \frac{\pi}{L_0} Z + B \sin \frac{\pi}{L_0} Z; \\ \frac{dy^{**}}{dZ} &= -A \frac{\pi}{L_0} \sin \frac{\pi}{L_0} Z + B \frac{\pi}{L_0} \cos \frac{\pi}{L_0} Z; \\ \frac{d^2 y^{**}}{dZ^2} &= -A \left( \frac{\pi}{L_0} \right)^2 \cos \frac{\pi}{L_0} Z - B \left( \frac{\pi}{L_0} \right)^2 \sin \frac{\pi}{L_0} Z. \end{aligned} \right\} \quad (4)$$

Подставляя (4) в (3), получим

$$-A \left( \frac{\pi}{L_0} \right)^2 \cos \frac{\pi}{L_0} Z - B \left( \frac{\pi}{L_0} \right)^2 \sin \frac{\pi}{L_0} Z + k^2 \left( A \cos \frac{\pi}{L_0} Z + B \sin \frac{\pi}{L_0} Z \right) = -y_{0,A} \left( \frac{\pi}{L_0} \right)^2 \sin \frac{\pi}{L_0} Z,$$

после тождественных преобразований

$$\left[ k^2 - \left( \frac{\pi}{L_0} \right)^2 \right] A \cos \frac{\pi}{L_0} Z + \left[ k^2 - \left( \frac{\pi}{L_0} \right)^2 \right] B \sin \frac{\pi}{L_0} Z = -y_{0,A} \left( \frac{\pi}{L_0} \right)^2 \sin \frac{\pi}{L_0} Z.$$

Это равенство обращается в тождество, если  $A = 0$ ,

$$B = -y_{0,A} \frac{\left( \frac{\pi}{L_0} \right)^2}{k^2 - \left( \frac{\pi}{L_0} \right)^2}. \quad (5)$$

Таким образом, общее решение (3) имеет вид

$$y = C_1 \cos kZ + C_2 \sin kZ + B \sin \frac{\pi}{L_0} Z .$$

Произвольные постоянные  $C_1$  и  $C_2$  определим из начальных условий

$$y(0) = 0; \quad y(L_0) = 0 .$$

$$Z = 0 \Rightarrow C_1 = 0; \quad Z = L_0 \Rightarrow C_2 = 0 .$$

В итоге имеем

$$y = -y_{0A} \frac{\left(\frac{\pi}{L_0}\right)^2}{k^2 - \left(\frac{\pi}{L_0}\right)^2} \sin \frac{\pi}{L_0} Z = -\frac{y_{0A}}{1 - \left(\frac{kL_0}{\pi}\right)^2} \sin \frac{\pi}{L_0} Z . \quad (6)$$

Наименьшее значение продольной силы  $P_Z$ , при которой становится возможным продольный изгиб  $P_{кр} = EI\pi^2/L_0^2$  тогда (6) можно записать с учетом  $k^2 = P_Z/(EI)$

$$y = \frac{y_{0A}}{1 - \frac{P_Z L_0^2}{EI \cdot \pi^2}} \sin \frac{\pi}{L_0} Z = \frac{y_{0A}}{1 - \frac{P_Z}{P_{кр}}} \sin \frac{\pi}{L_0} Z . \quad (7)$$

Максимальный прогиб при  $Z = 0,5L_0$

$$y_{\max} = \frac{y_{0A}}{1 - \frac{P_Z}{P_{кр}}} . \quad (8)$$

Максимальный упругий прогиб при  $Z = 0,5L_0$ , здесь  $y_0 = y_{0A}$

$$(y - y_0)_{\max} = \frac{y_{0A}}{1 - \frac{P_Z}{P_{кр}}} - y_{0A} = y_{0A} \left( \frac{\frac{P_Z}{P_{кр}}}{1 - \frac{P_Z}{P_{кр}}} \right) . \quad (9)$$

Обозначив

$$\varepsilon = \frac{P_Z}{P_{кр}} \quad \text{или} \quad \varepsilon = \frac{\sigma}{\sigma_{кр}} , \quad (10)$$

уравнения (8) и (9) можно записать в виде

$$y_{\max} = \frac{y_{0A}}{1 - \varepsilon} ; \quad (11)$$

$$(y - y_0)_{\max} = y_{0A} \left( \frac{\varepsilon}{1 - \varepsilon} \right) . \quad (12)$$

Максимальное напряжение в изогнутом стержне при начальном (неупругом) прогибе  $y_{0A}$

$$\sigma_{\max} = \sigma + \sigma_{\text{изг}} = \frac{P_Z}{S} + \frac{P_Z \cdot y_{\max}}{W},$$

где  $S = b_c d$ ;  $W = b_c d^2 / 6$ .

$$\sigma_{\max} = \frac{P_Z}{S} \left( 1 + \frac{S \cdot y_{\max}}{W} \right) = \sigma \left( 1 + \frac{S}{W} \frac{y_{0A}}{1 - \varepsilon} \right) = \sigma \left( 1 + \frac{S}{W} \frac{y_{0A}}{1 - \frac{\sigma}{\sigma_{\text{кр}}}} \right). \quad (13)$$

При  $(\sigma_{\max} \rightarrow \sigma_T) \Rightarrow (\sigma \rightarrow \sigma_{\text{lim}})$ . Обозначив

$$\varphi = \frac{\sigma_{\text{lim}}}{\sigma_T} \leq 1, \quad (14)$$

уравнение (13) запишем

$$\sigma_T = 1 + \frac{S}{W} \frac{y_{0A}}{1 - \frac{\sigma_{\text{lim}}}{\sigma_{\text{кр}}}};$$

$$\frac{1}{\varphi} = 1 + \frac{6y_{0A}}{d \left( 1 - \varphi \sigma_T \frac{12L_0^2}{E\pi^2 d^2} \right)} = 1 + \frac{6y_{0A}}{d \left( 1 - \varphi \sigma_T \frac{\lambda^2}{E\pi^2} \right)}, \quad (15)$$

где

$$\lambda^2 = 12 \left( \frac{L_0}{d} \right)^2. \quad (16)$$

С учетом необходимого коэффициента запаса прочности  $n$  (для стали обычно  $n = 1,6$ ) допускаемые максимальные напряжения при сжатии

$$[\sigma] = \frac{\sigma_T}{n}, \quad (17)$$

уравнение (15) с учетом (17) запишется

$$\frac{1}{\varphi} = 1 + \frac{6y_{0A}}{d \left( 1 - [\sigma] \frac{\lambda^2}{E\pi^2} \varphi \right)};$$

$$\frac{1}{\varphi} = 1 + \frac{\rho}{1 - K_M \lambda^2 \varphi}, \quad (18)$$

где

$$K_M \stackrel{\text{def}}{=} \frac{[\sigma]}{E\pi^2}; \quad \rho = 6 \frac{y_{0A}}{d}. \quad (19)$$

Преобразуем уравнение (18) к виду

$$1 = \varphi + \frac{\rho}{1 - K_M \lambda^2 \varphi} \varphi; \quad 1 - K_M \lambda^2 \varphi = \varphi - K_M \lambda^2 \varphi^2 + \rho \varphi;$$

$$K_M \lambda^2 (\varphi - 1) \varphi = (1 + \rho) \varphi - 1; \quad K_M \lambda^2 = \frac{(1 + \rho) \varphi - 1}{(\varphi - 1) \varphi};$$

$$K_M \lambda^2 = \frac{1 - (1 + \rho) \varphi}{(1 - \varphi) \varphi}. \quad (20)$$

Проектный расчет корректора (стержня, пластины) на прочность.

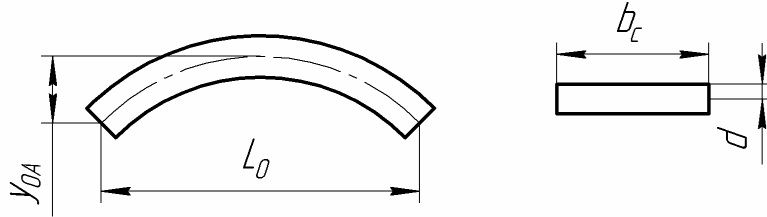


Рис. 3. Расчетная схема пластины корректора

Назначаются: марка стали. Следовательно

$$K_M = \frac{\sigma_T}{nE\pi^2}; \quad \varphi = \frac{\sigma_{\text{lim}}}{\sigma_T}.$$

Для заданных  $K_M$  и  $\varphi$  решается функциональная зависимость

$$\frac{L_0}{d} = f\left(\frac{y_{0A}}{d}\right).$$

Расчетная модель: брус с начальной кривизной; поперечное сечение мало в сравнении с радиусом кривизны.

Перемещение точки приложения силы  $P_Z$  в направлении этой силы

$$\delta_Z = \frac{du}{dP_Z},$$

где  $u$  – потенциальная деформация при изгибе, равная  $u = \int_0^S \frac{M_{\text{изг}}^2}{2EI} dS$ ;  $S$  – длина кривой бруса.

Изгибающий момент в каком-либо поперечном сечении

$$M_{\text{изг}} = -P_Z y = -P_Z \frac{y_{0A}}{1 - \frac{P_Z}{P_{\text{кр}}}} \sin \frac{\pi}{L_0} Z.$$

Проинтегрировав уравнение (9), получим

$$u = 0,25 \frac{L_0}{EI} \left( \frac{y_{0A}}{1 - \frac{P_Z}{P_{\text{кр}}}} P_Z \right)^2.$$

Продольная деформация корректора жесткости

$$\delta_z = 0,5 \frac{L_0 y_{0A}^2}{EI} \cdot \frac{P_z}{\left(1 - \frac{P_z}{P_{кр}}\right)^3} = \frac{L_0 y_{0A}^2}{2EI} P_{кр} \frac{\varepsilon}{(1-\varepsilon)^3} = \frac{y_{0A}^2}{2} \frac{\pi^2}{L_0} \frac{\varepsilon}{(1-\varepsilon)^3},$$

где  $\varepsilon = P_z/P_{кр}$ ;  $P_{кр} = EI\pi^2/L_0^2$ .

На основании численного исследования  $\frac{\varepsilon}{(1-\varepsilon)^3} = 12\varepsilon^2$ , тогда

$$\delta_z = \frac{y_{0A}^2 \pi^2}{2L_0} \cdot 12\varepsilon^2 = 6\pi^2 \frac{y_{0A}^2}{L_0} \left(\frac{P_z}{P_{кр}}\right)^2 = 6\pi^2 \frac{y_{0A}^2}{L_0} P_z^2 \frac{L_0^2}{EI\pi^2} = 6 \frac{y_{0A}^2 L_0}{EI} P_z^2.$$

Определим продольную податливость корректора жесткости

$$C_z^{-1} = \frac{d\delta_z}{dP_z} = 12 \frac{y_{0A}^2 L_0}{EI} P_z.$$

Продольная жесткость корректора от деформации изгиба (деформация сжатия не учитывается)

$$C_z = \frac{EI}{12 y_{0A}^2 L_0 P_z}.$$

Жесткость в безразмерной системе координат

$$\frac{dF}{d\bar{x}} = C_{10} b - 2 \frac{P_z}{\bar{h}^2} \left[ \frac{\sin^{-2} \alpha_0 - 1}{\bar{h}} + \frac{\sin \alpha_0 (1 - \bar{x})^2}{2(1 - \bar{h} \sin \alpha_0)} \right],$$

где  $\bar{h} = \sqrt{\bar{x}^2 - 2\bar{x} + \sin^{-2} \alpha_0}$ ;  $\sin \alpha_0 = b/L_0$ ;  $\bar{x} = x/b$ .

Необходимое и достаточное условие квазиулевого жесткости в окрестности точки  $\bar{x} = 1$  (рис. 1).

$$C_{10} b = \frac{2\pi}{\sqrt{6}} \cdot \frac{EI}{L_0 y_A} \cdot \sqrt{\frac{1}{\sin^{-2} \alpha_0 - 1} - \sin \alpha_0}.$$

**Список литературы:** 1. Гапонов В.С., Калинін П.М. Пасивна віброзахисна система з керованою квазиулевою жорсткістю. Патент на винахід 62934 Україна. – 2004. Бюл. № 1.

© Гапонов В.С., Остапчук Ю.А., 2011  
Поступила в редколлегию 14.02.11